



Министерство науки и высшего образования Российской Федерации
ФЕДЕРАЛЬНОЕ ГОСУДАРСТВЕННОЕ АВТОНОМНОЕ ОБРАЗОВАТЕЛЬНОЕ УЧРЕЖДЕНИЕ ВЫСШЕГО ОБРАЗОВАНИЯ
«Национальный исследовательский университет ИТМО»
(Университет ИТМО)

Дисциплина: Теория автоматического управления

Отчет
по лабораторной работе №6:
«Критерий Найквиста и системы с запаздыванием»

Вариант 12

Выполнил:
Самбрано Браво Рикардо Хосе,
студент гр. R33352

Преподаватель:
Пашенко Артем Витальевич,
фак. СУиР

Санкт-Петербург,
2023 г.

СОДЕРЖАНИЕ

ОСНОВНАЯ ЧАСТЬ.....	3
1 Выполнение задания №1 «Годограф Найквиста».....	3
1.1 Условие задания №1 «Годограф Найквиста».....	3
1.2 Аналитика по полученным графикам и промежуточные результаты по заданию №1 «Годограф Найквиста»	4
2 Выполнение задания №2 «Коэффициент усиления»	16
2.1 Условие задания №2 «Коэффициент усиления».....	16
2.2 Аналитика по полученным графикам и промежуточные результаты по заданию №2 «Коэффициент усиления»	16
3 Выполнение задания №3 «Запаздывание»	22
3.1 Условие задания №3 «Запаздывание».....	22
3.2 Аналитика по полученным графикам и промежуточные результаты по заданию №3 «Запаздывание».....	22
ЗАКЛЮЧЕНИЕ	32

ОСНОВНАЯ ЧАСТЬ

1 Выполнение задания №1 «Годограф Найквиста»

1.1 Условие задания №1 «Годограф Найквиста»

В соответствии с вариантом задания (см. таблицу 1) придумайте три такие передаточных функции, которые имеют 5 полюсов, p из которых вещественные, а q - комплексно-сопряженные.

- Первая передаточная функция должна иметь n неустойчивых полюсов у разомкнутой системы и m неустойчивых полюсов у замкнутой.
- Вторая передаточная функция должна иметь 0 неустойчивых полюсов у разомкнутой системы и m у замкнутой.
- Третья передаточная функция должна иметь n неустойчивых полюсов у разомкнутой системы и 0 у замкнутой.

Для полученных систем:

1.1.1 Опишите алгоритм, который вы использовали для составления передаточных функций с необходимыми параметрами, приведите изображения размещения нулей и полюсов разомкнутой и замкнутой систем на комплексной координатной плоскости.

1.1.2 Выполните моделирование и приведите переходные характеристики для замкнутой и разомкнутой систем.

1.1.3 Постройте годограф Найквиста (АФЧХ). Найдите число оборотов годографа по часовой стрелке вокруг точки $(-1; 0)$ и через критерий Найквиста. Сравните результаты.

1.2 Аналитика по полученным графикам и промежуточные результаты по заданию №1 «Годограф Найквиста»

1.2.1 Первая передаточная функция должна иметь 3 неустойчивых полюса у разомкнутой системы и 2 неустойчивых полюсов у замкнутой.

В программе NyQuist.html мы выбираем полюса и ноль передаточной функции, соответствующие нашему варианту.

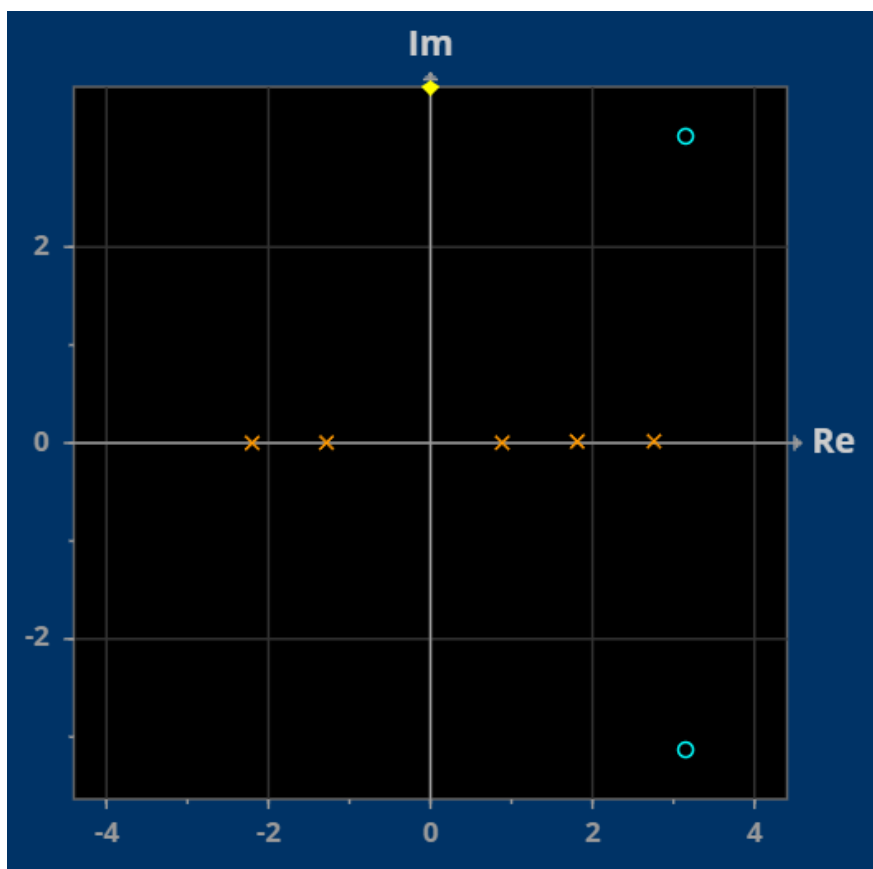


Рисунок 1 - График полюсов и нулей

Как мы видим на рисунке 1, наша система имеет 3 полюса на правой стороне плоскости.

Получаем передаточную функцию для разомкнутой системы

$$W(s) = \frac{((s - 3.15)^2 + 3.13^2)}{(s - 2.78)(s - 1.83)(s + 1.28)(s - 0.89)(s + 2.20)} \quad (1)$$

Теперь построим Step response для неё:

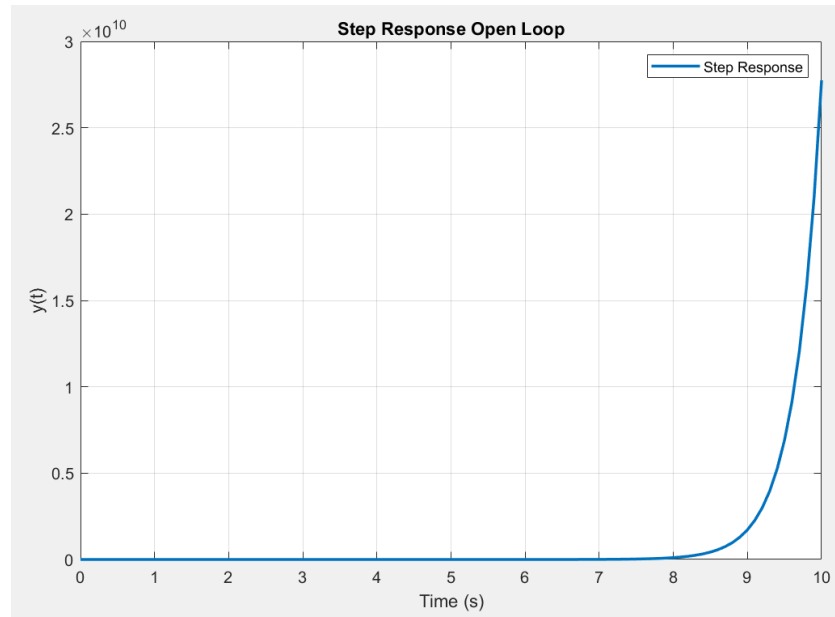


Рисунок 2 - Step Response для разомкнутой системы

Теперь приступим к построению графика полюсов замкнутой системы, как показано на графике ниже:

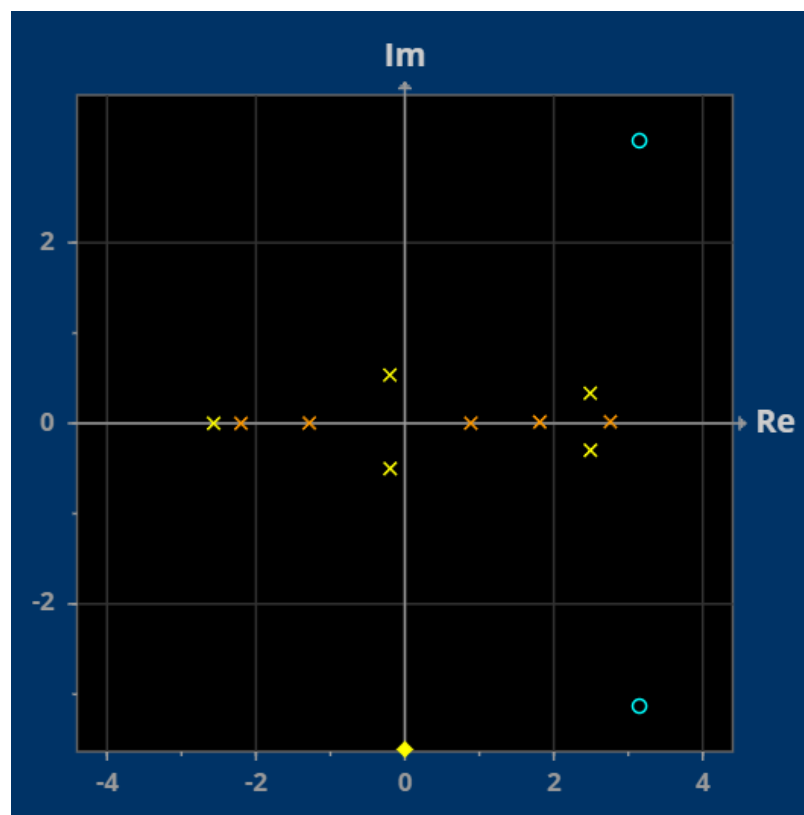


Рисунок 3 - Полюса замкнутой системы (желтые кресты)

Как мы видим из рисунка 3, желтые крестики — это полюса замкнутой системы.

Получаем передаточную функцию для замкнутой системы

$$W(s) = \frac{((s - 3.15)^2 + 3.13^2)}{((s + 0.19)^2 + 0.53^2)(s + 2.57)((s - 2.49)^2 + 0.32^2)} \quad (2)$$

Теперь построим Step response для неё:

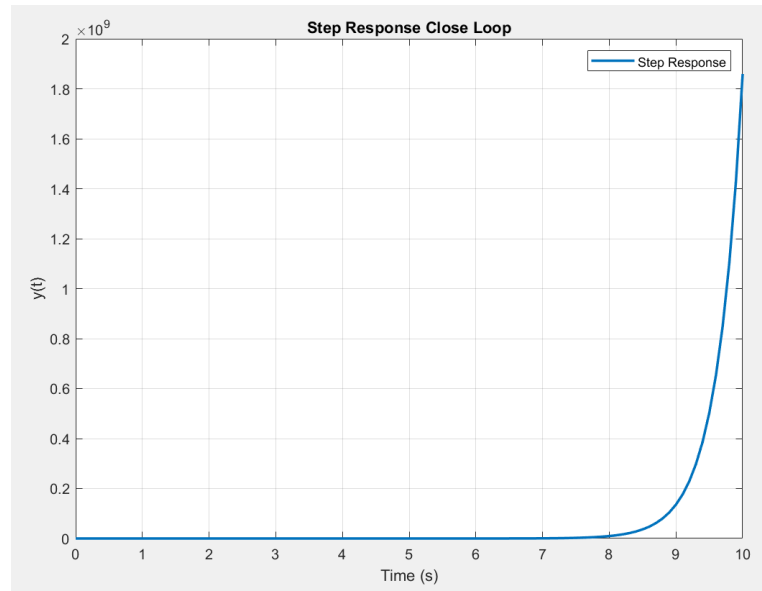


Рисунок 4 - Step response для замкнутой системы

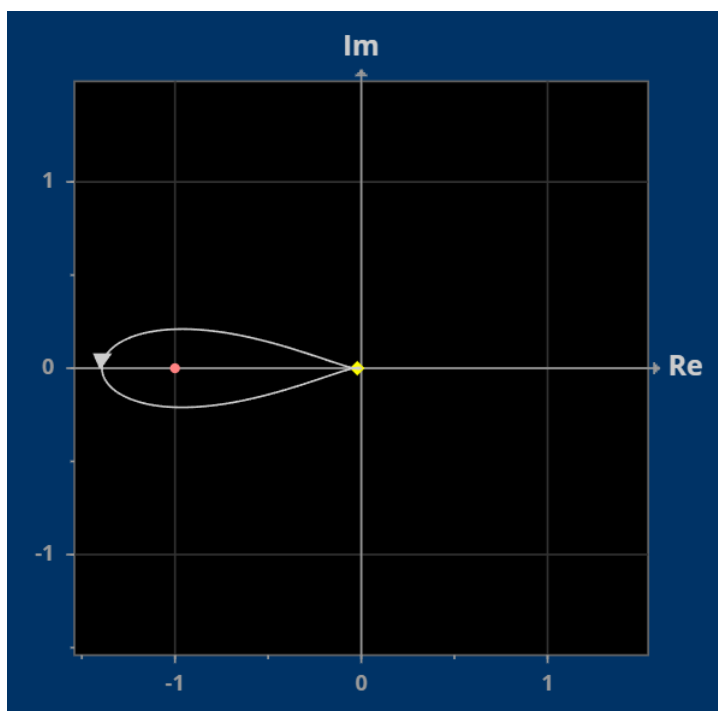


Рисунок 5 – Годограф

Теперь посчитаем количество оборот по часовой стрелке: -1.

$3 - 1 = 2$. И в замкнутой системе у нас 2 неустойчивых полюса. Как видим, критерий Найквиста соблюден.

1.2.2 Вторая передаточная функция должна иметь 0 неустойчивых полюсов у разомкнутой системы и 2 у замкнутой.

В программе NyQuist.html мы выбираем полюса и ноль передаточной функции, соответствующие нашему варианту.

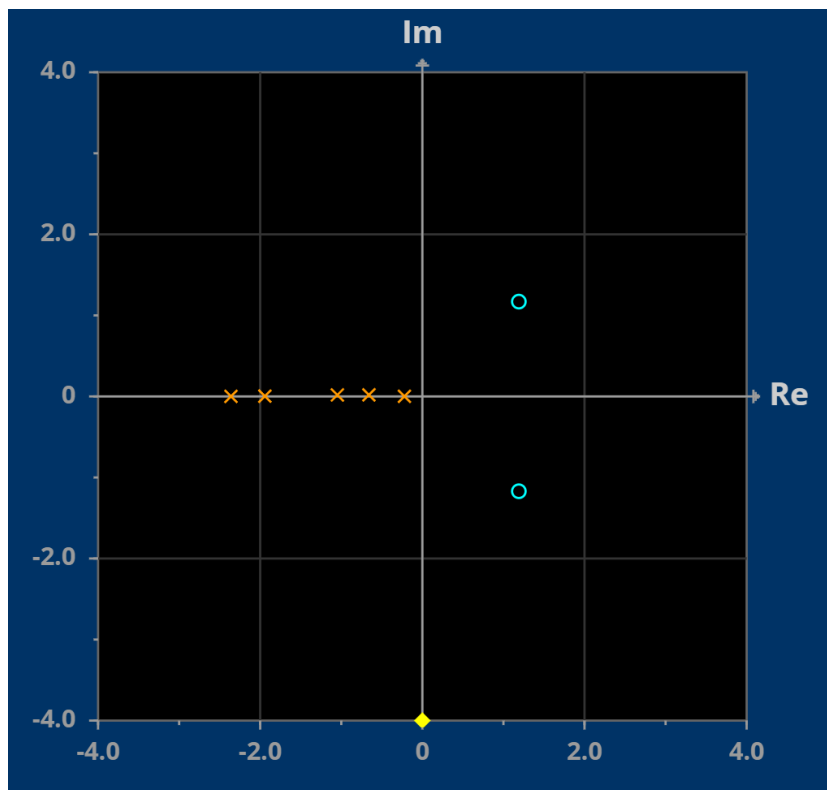


Рисунок 6 - График полюсов и нулей

Как мы видим на рисунке 1, наша система имеет 0 полюса на правой стороне плоскости.

Получаем передаточную функцию для разомкнутой системы:

$$W(s) = \frac{((s - 1.19)^2 + 1.17^2)}{(s + 1.94)(s + 0.22)(s + 2.36)(s + 0.64)(s + 1.03)} \quad (3)$$

Теперь построим Step response для неё:

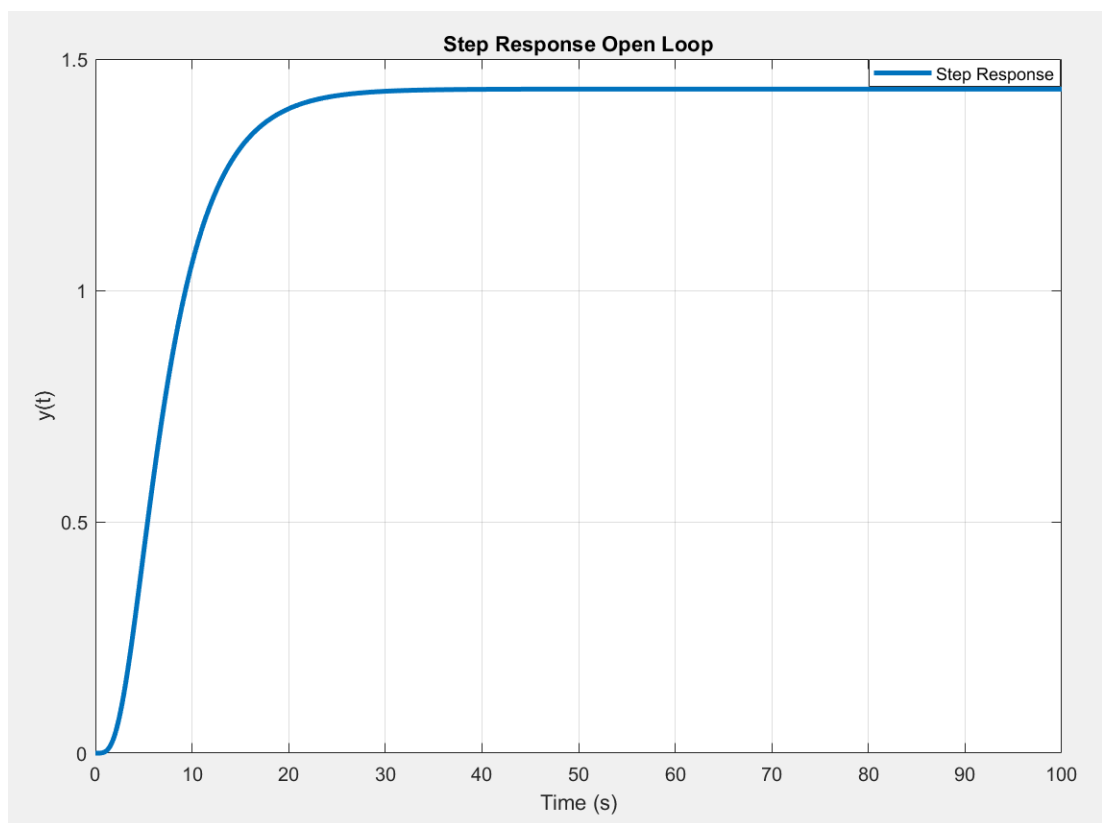


Рисунок 7 - Step Response для разомкнутой системы

Теперь приступим к построению графика полюсов замкнутой системы, как показано на графике ниже:

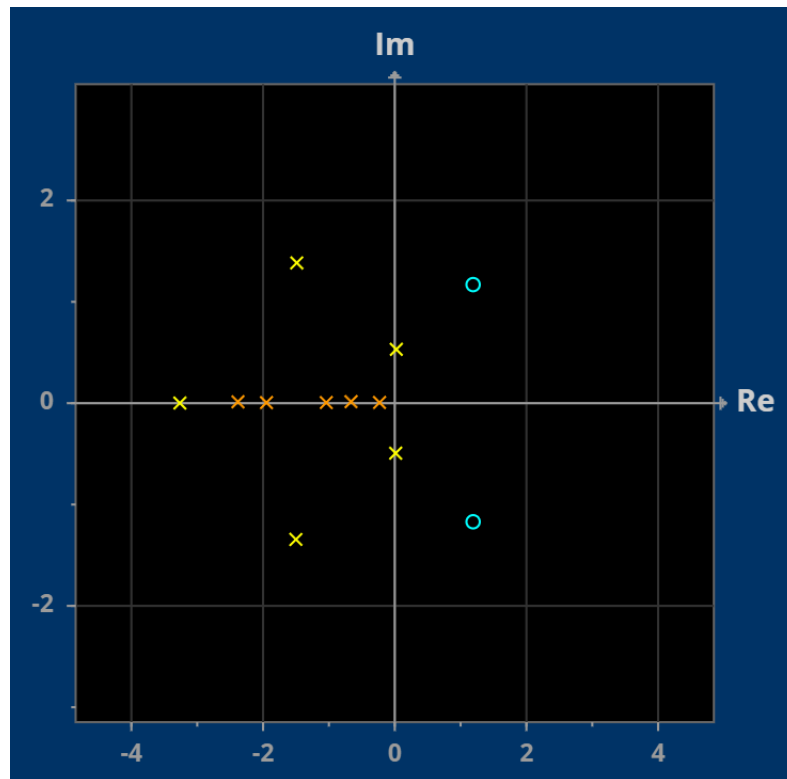


Рисунок 8 - Полюса замкнутой системы (желтые крестики)

Как мы видим из рисунка 3, желтые крестики — это полюса замкнутой системы.

Получаем передаточную функцию для замкнутой системы

$$W(s) = \frac{((s - 1.19)^2 + 1.17^2)}{(s + 3.28)((s + 1.49)^2 + 1.38^2)((s + 0.03)^2 + 0.52^2)} \quad (4)$$

Теперь построим Step response для неё:

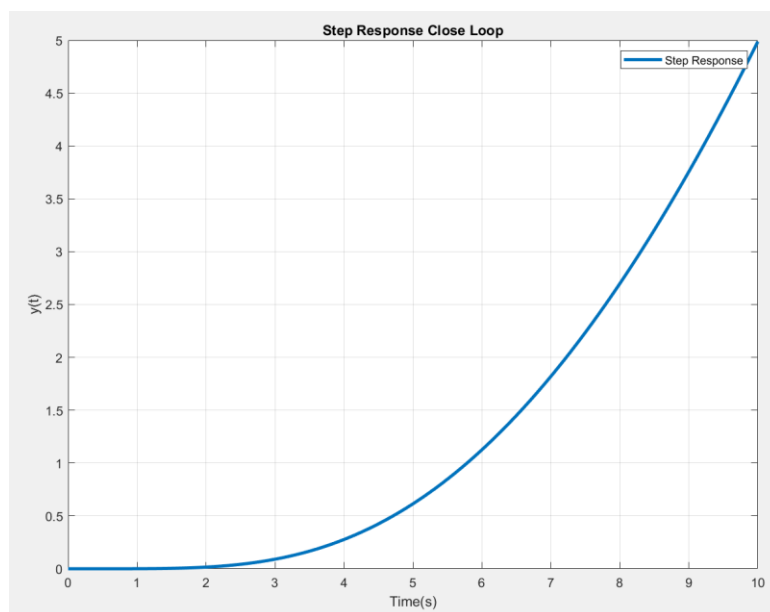


Рисунок 9 - Step Response для замкнутой системы

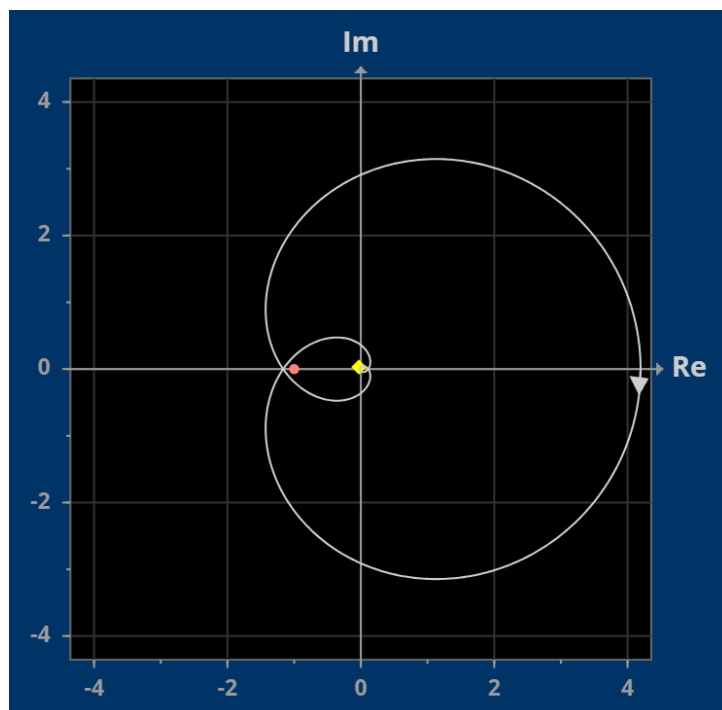


Рисунок 10 - Годограф

$0 + 2 = 2$. И в замкнутой системе у нас 2 неустойчивых полюса. Как видим, критерий Найквиста соблюден.

1.2.3 Третья передаточная функция должна иметь 3 неустойчивых полюса у разомкнутой системы и 0 у замкнутой.

В программе NyQuist.html мы выбираем полюса и ноль передаточной функции, соответствующие нашему варианту.

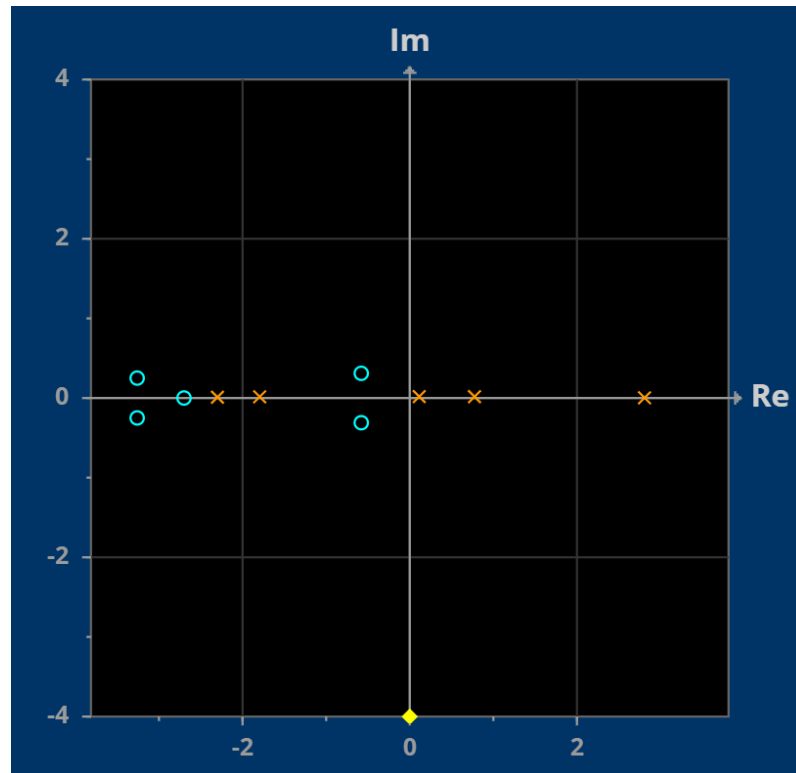


Рисунок 11 - График полюсов и нулей

Как мы видим на рисунке 1, наша система имеет 3 полюса на правой стороне плоскости.

Получаем передаточную функцию для разомкнутой системы:

$$W(s) = \frac{((s + 0.58)^2 + 0.31^2)((s + 3.26)^2 + 0.25^2)(s + 2.70)}{(s + 2.29)(s - 0.79)(s + 1.78)(s - 2.81)(s - 0.13)} \quad (5)$$

Теперь построим Step response для неё:

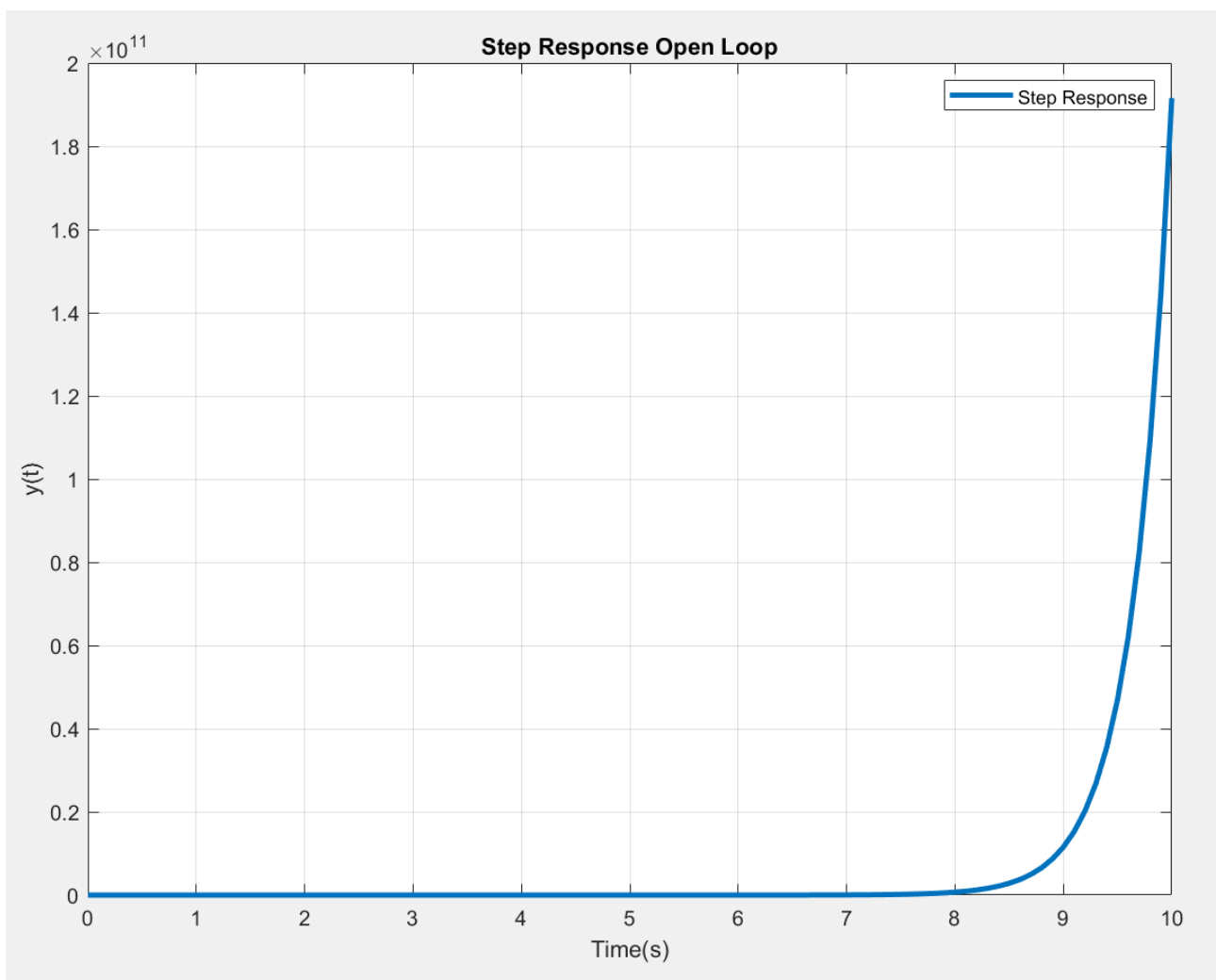


Рисунок 12 - Step Response для разомкнутой системы

Теперь приступим к построению графика полюсов замкнутой системы, как показано на графике ниже:

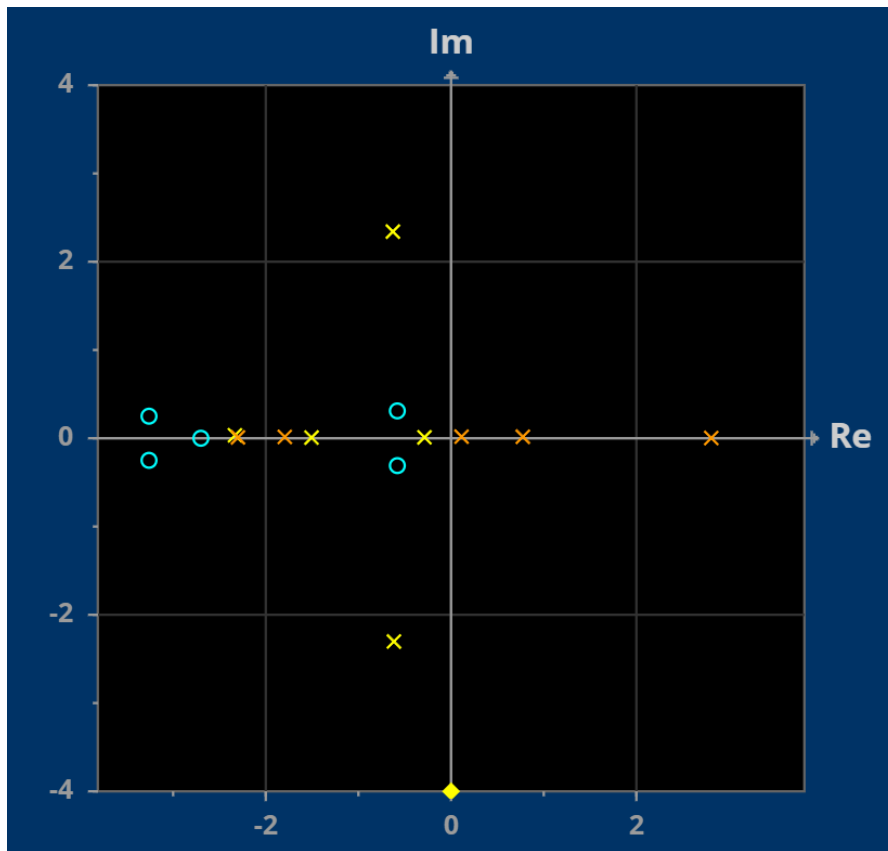


Рисунок 13 - Полюса замкнутой системы (желтые кресты)

Как мы видим из рисунка 13, желтые крестики — это полюса замкнутой системы.

Получаем передаточную функцию для замкнутой системы

$$W(s) = \frac{((s + 0.58)^2 + 0.31^2)((s + 3.26)^2 + 0.25^2)(s + 2.70)}{((s + 0.64)^2 + 2.33^2)(s + 0.29)(s + 1.51)(s + 2.36)} \quad (6)$$

Теперь построим Step response для неё:

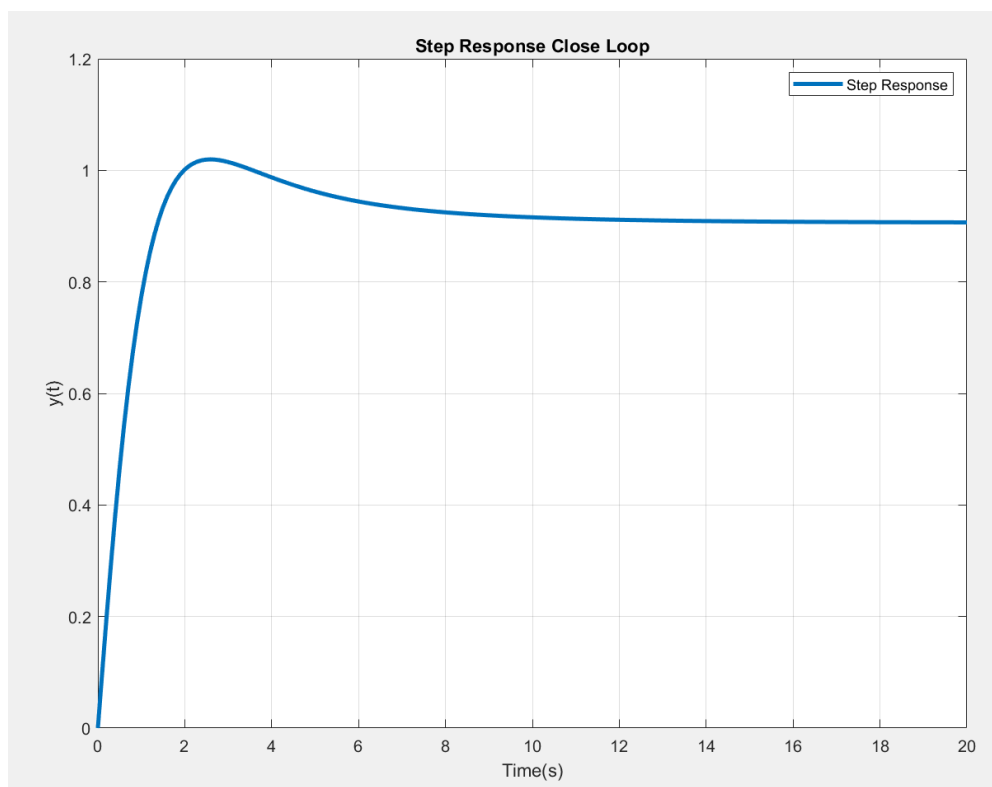


Рисунок 14 - Step Response для замкнутой системы

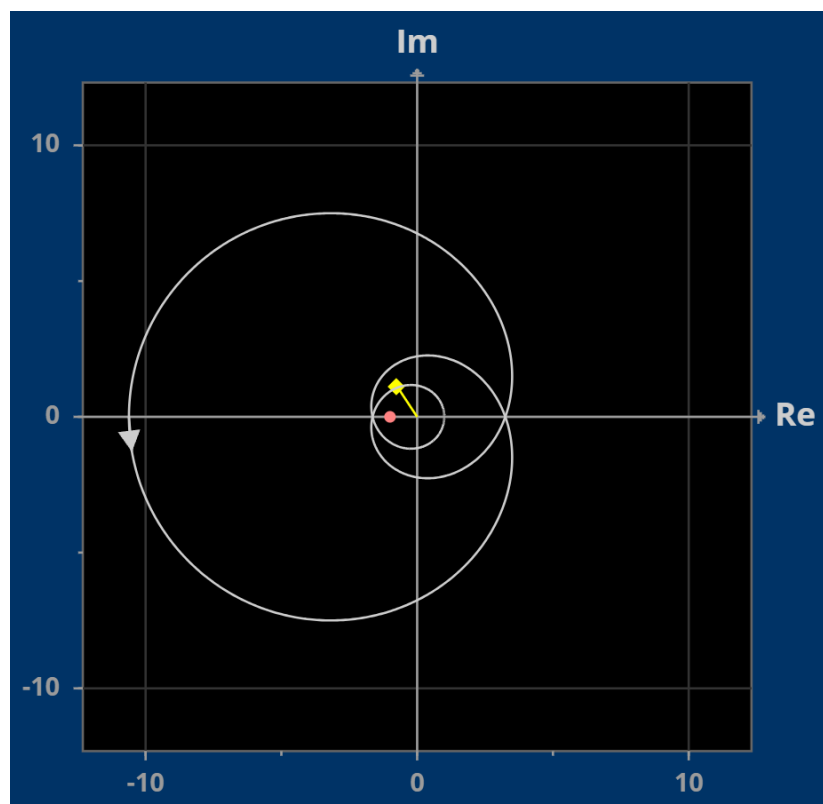


Рисунок 15 - Годограф

2 Выполнение задания №2 «Коэффициент усиления»

2.1 Условие задания №2 «Коэффициент усиления»

В соответствии с вариантом задания возьмите значение i (см. таблицу 1) и соответствующие ему передаточные функции $W_1(s)$ и $W_2(s)$ (см. таблицу 2). Добавьте к каждой функции коэффициент усиления k . Для полученных систем:

2.1. Постройте годограф Найквиста для значения коэффициента усиления $k = 1$.

2.2. Рассмотрите, как влияет коэффициент усиления k на кривую Годографа.

2.3. Найдите зависимость количества неустойчивых полюсов замкнутой системы относительно значений коэффициента усиления k . Определите значение запаса устойчивости по амплитуде. Найдите пределы значений коэффициента усиления k относительно которых система устойчива.

2.4. Выполните моделирование и приведите переходные характеристики замкнутой системы при значениях коэффициента k для устойчивого и неустойчивого случаев.

2.2 Аналитика по полученным графикам и промежуточные результаты по заданию №2 «Коэффициент усиления»

Учитывая передаточную функцию:

$$W_1(s) = \frac{s - 3}{s^2 + 3s + 1} \quad (7)$$

Мы можем увидеть, как коэффициент усиления K влияет на устойчивость системы через годограф.

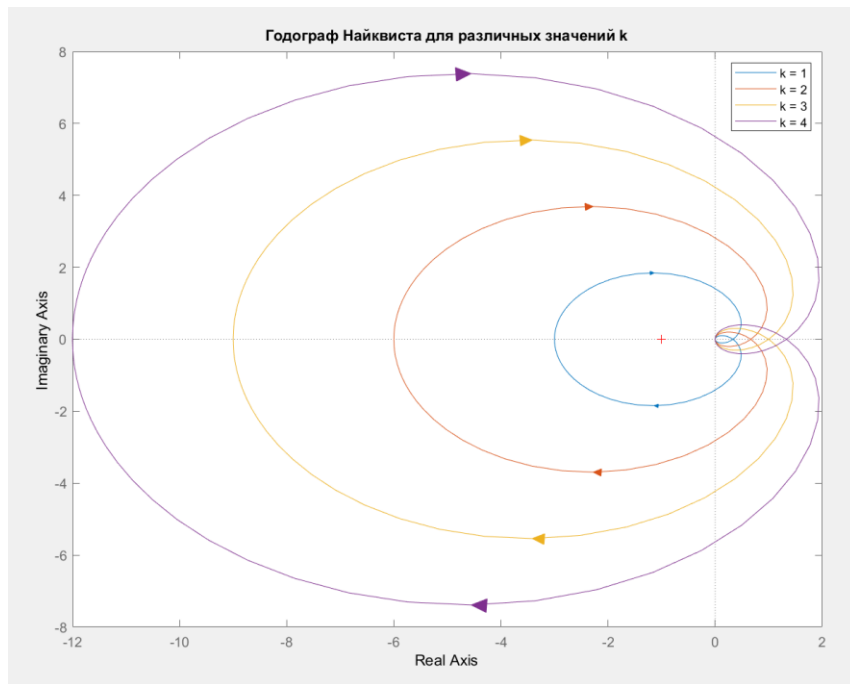


Рисунок 16 - Годограф Найквиста с различными коэффициентами

Как мы видим на графике 16, видно, что коэффициент «растягивает» или «увеличивает» график

Найдем функцию замкнутой системы:

$$W_{CL} = \frac{k(s-3)}{s^2 + 3s + 1 + ks - 3k} \quad (8)$$

$$W_{CL} = \frac{k(s-3)}{s^2 + (3+k)s + 1 - 3k}$$

С помощью теоремы Гурвица мы можем обнаружить, что система неустойчива, когда $K > 1/3$

Теперь посмотрим на частотные характеристики функции разомкнутой системы:

$$W(jw) = \frac{6w^2 - 3}{w^4 + 7w^2 + 1} - j \frac{w^3 - 10w}{w^4 + 7w^2 + 1} \quad (9)$$

$$A(w) = \sqrt{\left(\frac{6w^2 - 3}{w^4 + 7w^2 + 1}\right)^2 + \left(\frac{-w^3 + 10w}{w^4 + 7w^2 + 1}\right)^2} \quad (10)$$

$$\varphi(w) = \text{atan2}\left(\frac{-w^3 + 10w}{w^4 + 7w^2 + 1}, \frac{6w^2 - 3}{w^4 + 7w^2 + 1}\right) \quad (11)$$

$$\varphi(0) = -180$$

$$A(0) = 3$$

$$K_{max} = A_3 = \frac{1}{A(0)} = \frac{1}{3}$$

Из предыдущих расчетов мы можем определить, что максимальный К равен
1/3

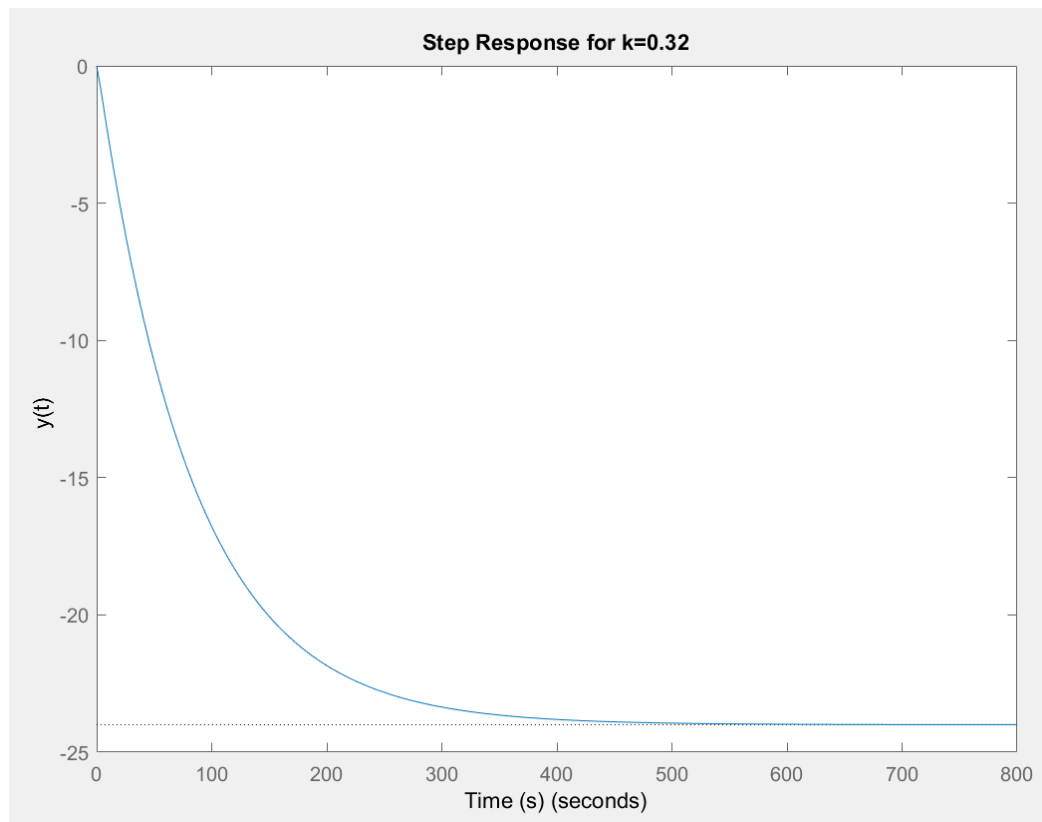


Рисунок 17 - Переходная функция системы при стабильном коэффициенте

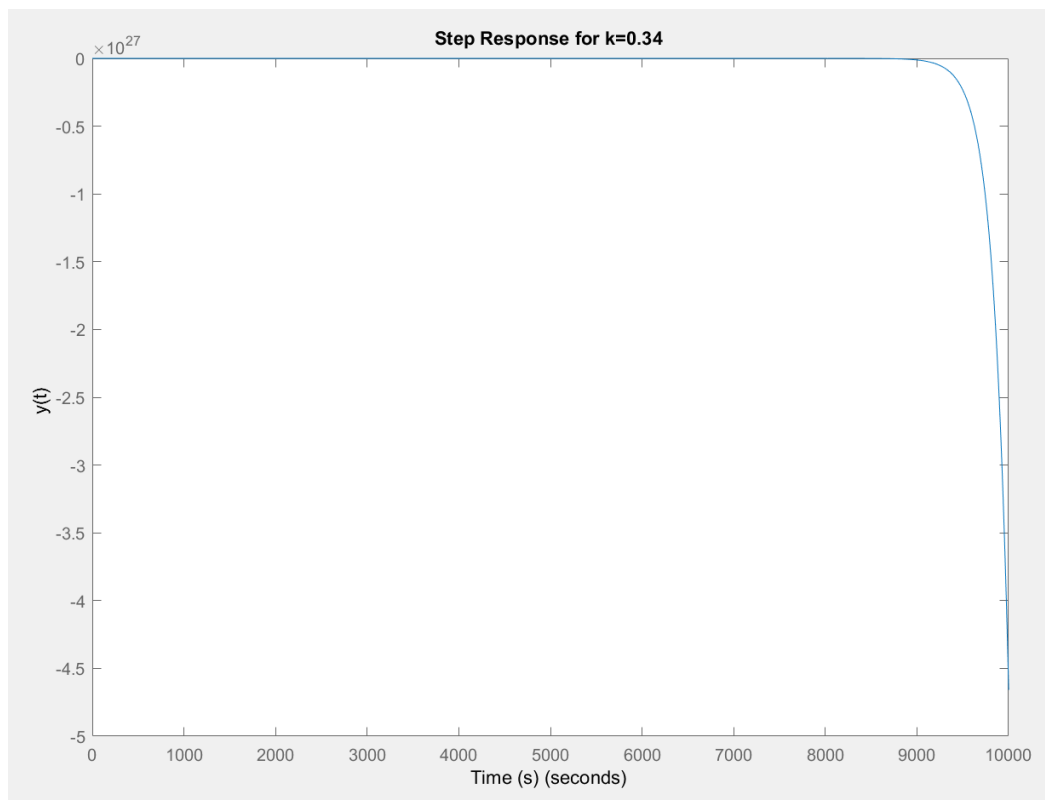


Рисунок 18 - Переходная функция системы при нестабильном коэффициенте

Для расчета критического коэффициента K передаточной функции $W_2(s)$ необходимо проделать те же действия, которые мы выполнили ранее:

$$W(s) = \frac{10s^3 - 13s^2 + 10s - 2}{10s^3 + 14s^2 + 5s + 0.5} \quad (12)$$

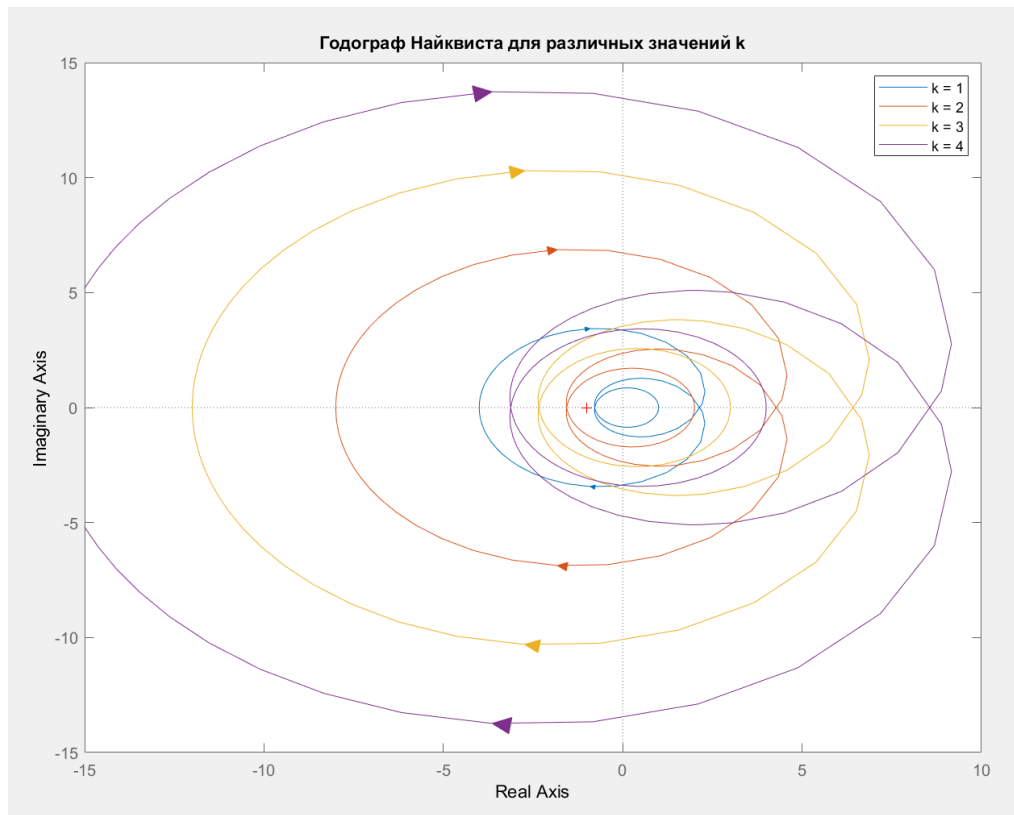


Рисунок 19 - Годограф Найквиста с различными коэффициентами

Посмотрим на частотные характеристики функции разомкнутой системы:

$$W(jw) = \frac{10000(w^6 + 0.4^5 - 0.44w^4 + 0.006w^2 - 0.00003)}{10000(w^6 - 1.2w^5 + 0.48w^4 - 0.072w^3 + 0.0036w^2 + 0.0001)} - \frac{0.013w^3 + 0.0082w^2 + 0.00118w}{w^6 - 1.2w^5 + 0.48w^4 - 0.072w^3 + 0.0036w^2 + 0.0001}j \quad (13)$$

$$A(w) = \frac{\sqrt{((w^6 + 0.4w^5 - 0.44w^4 + 0.006w^2 - 0.00003))^2 + (0.013w^3 + 0.0082w^2 + 0.00118w)^2}}{w^6 - 1.2w^5 + 0.48w^4 - 0.072w^3 + 0.0036w^2 + 0.0001} \quad (14)$$

$$\varphi(w) = \text{atan2}\left(\frac{0.013w^3 + 0.0082w^2 + 0.00118}{w^6 - 1.2w^5 + 0.48w^4 - 0.072w^3 + 0.0036w^2 + 0.0001}, \frac{10000(w^6 + 0.4^5 - 0.44w^4 + 0.006w^2 - 0.00003)}{10000(w^6 - 1.2w^5 + 0.48w^4 - 0.072w^3 + 0.0036w^2 + 0.0001)}\right) \quad (15)$$

$$\varphi(0) = 540$$

$$A(0) = 0.3$$

$$K_{кр} = A_3 = \frac{1}{A(0)} = \frac{1}{0.3} = 3.33$$

При частоте 0 арктангенс равен 540, что является оборотом на -180 градусов от полного поворота в 720, амплитуда при этом равна 0.3, соответственно

критический коэффициент коэффициент $K = 3.33$. Теперь построим step responses для устойчивого и неустойчивого коэффициентов:

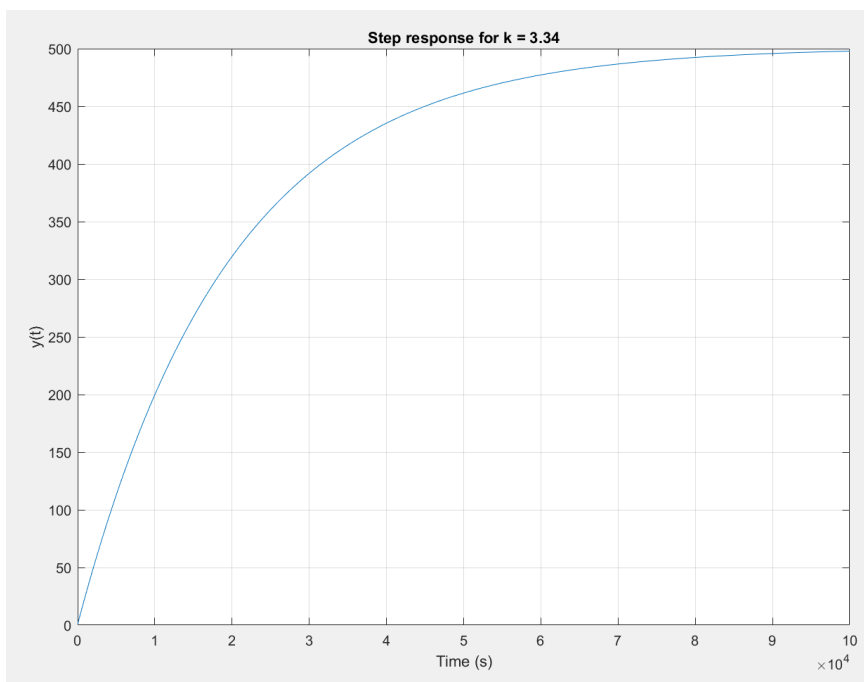


Рисунок 20 - Переходная функция системы при стабильном коэффициенте

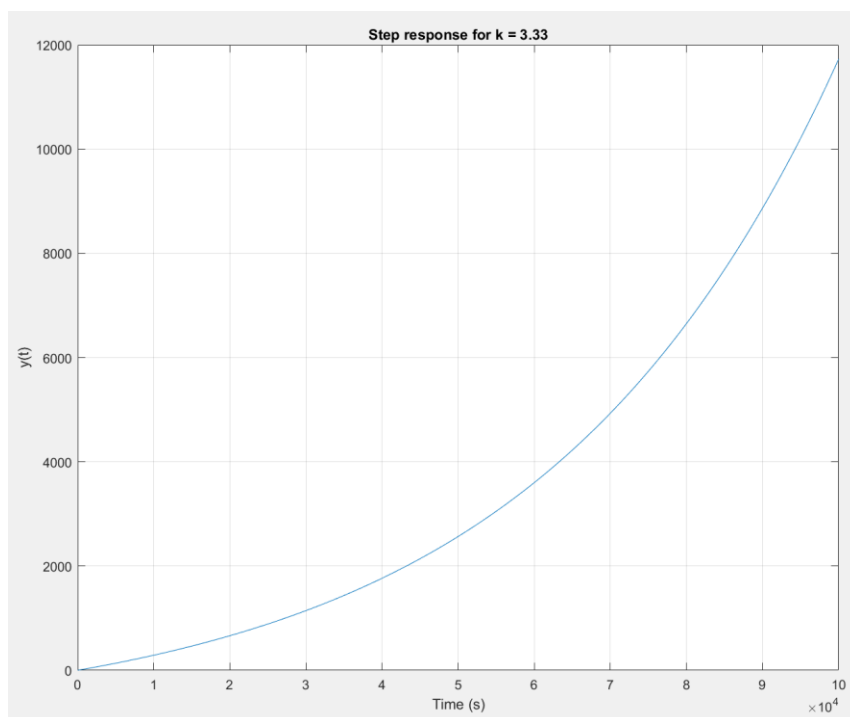


Рисунок 21 - Переходная функция системы при неустойчивом коэффициенте

3 Выполнение задания №3 «Запаздывание»

3.1 Условие задания №3 «Запаздывание»

В соответствии с вариантом задания возьмите значение j (см. таблицу 1) и соответствующие ему передаточные функции $W_3(s)$ и $W_4(s)$ (см. таблицу 3). Добавьте к каждой функции звено чистого запаздывания $e^{-\tau s}$. Для полученных систем:

3.1. Постройте годограф Найквиста для значения коэффициента запаздывания $\tau = 0$ и $\tau = 0.5$.

3.2. Рассмотрите, как влияет коэффициент запаздывания τ на кривую годографа.

3.3. Найдите зависимость неустойчивости замкнутой системы относительно значений коэффициента запаздывания τ . Определите значение запаса устойчивости по фазе. Найдите пределы значений коэффициента запаздывания τ относительно которых система устойчива.

3.4. Выполните моделирование и приведите переходные характеристики замкнутой системы при значениях коэффициента τ для устойчивого и неустойчивого случаев.

3.2 Аналитика по полученным графикам и промежуточные результаты по заданию №3 «Запаздывание»

Для функции $W_3(s)$:

$$W(s) = \frac{9s + 3}{s^2 + 3s + 5} \quad (16)$$

Приступаем к изучению системы при запаздывании 0 и при 0.5

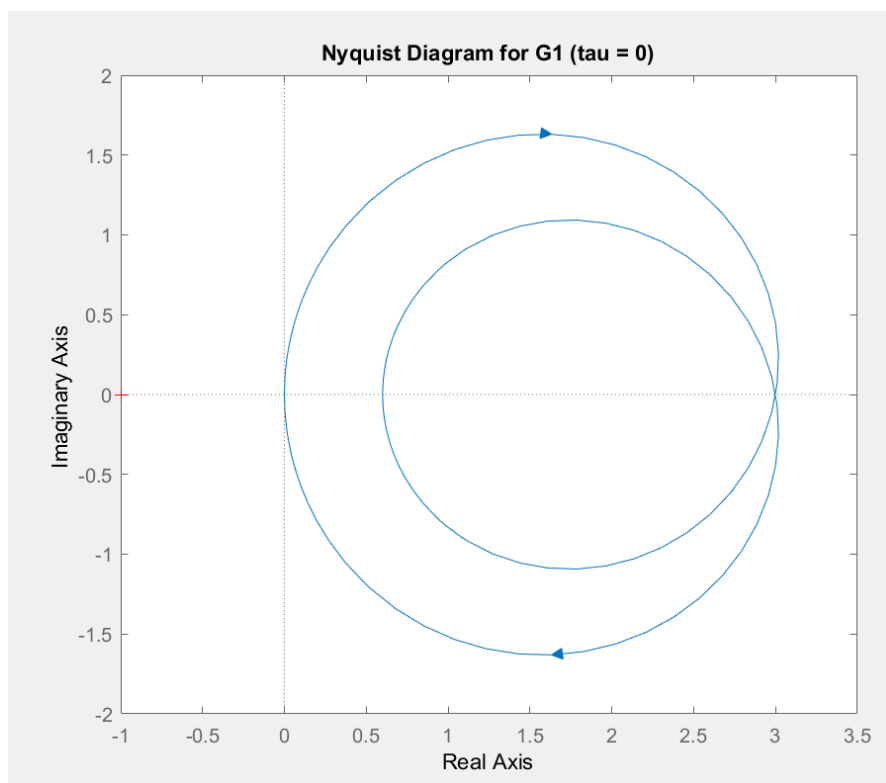


Рисунок 22 - Система при $\tau = 0$

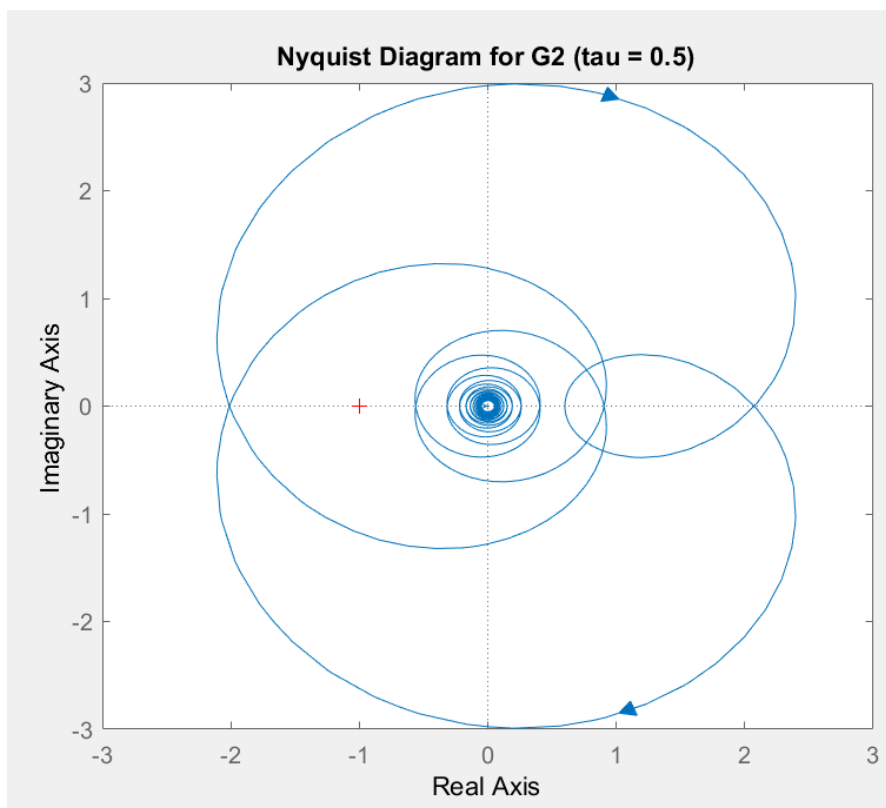


Рисунок 23 - Система при $\tau = 0.5$

Приступаем к построению графика ФЧХ и АЧХ, чтобы проанализировать, на какой частоте амплитуда равна 1:

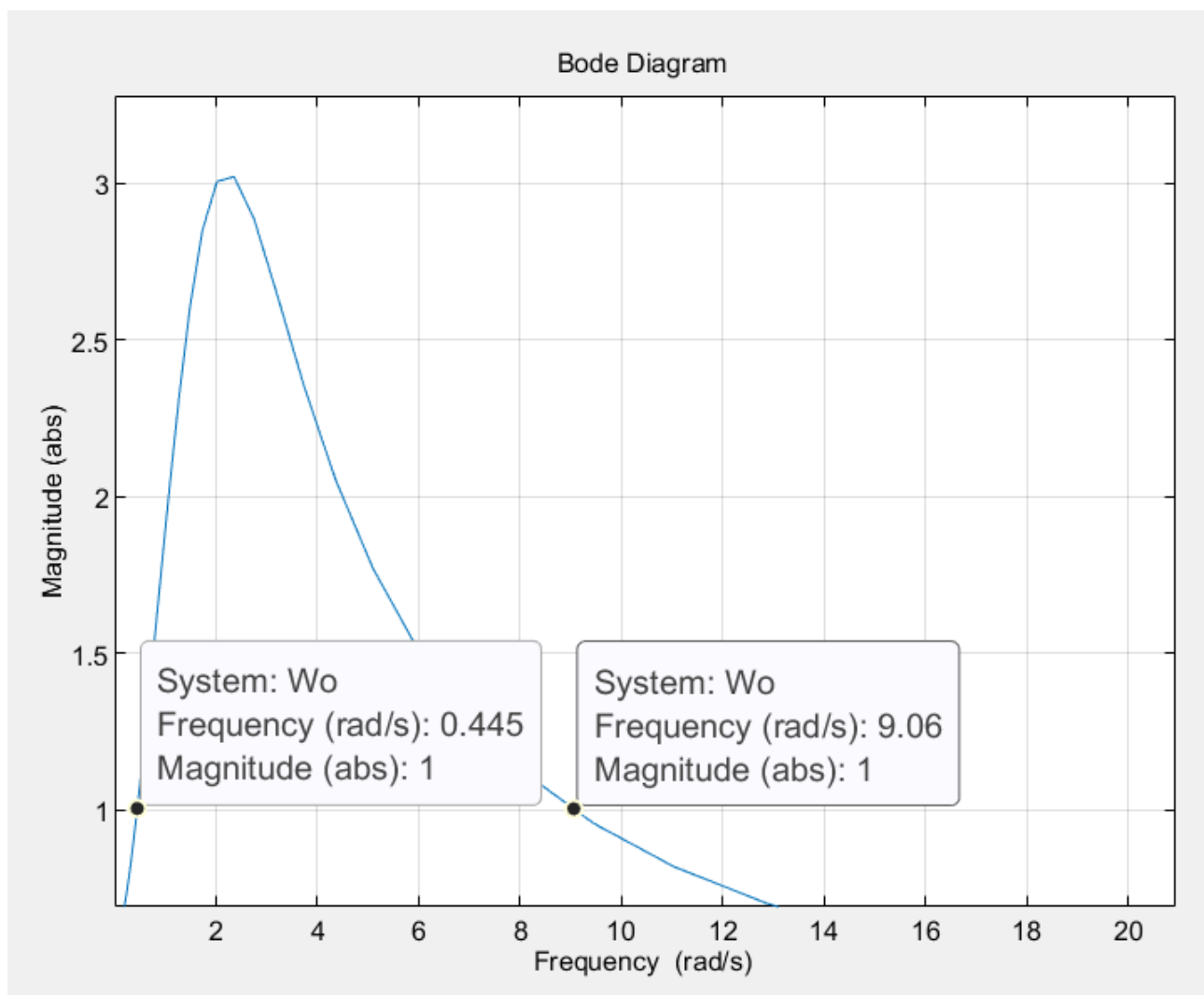


Рисунок 24 - АЧХ

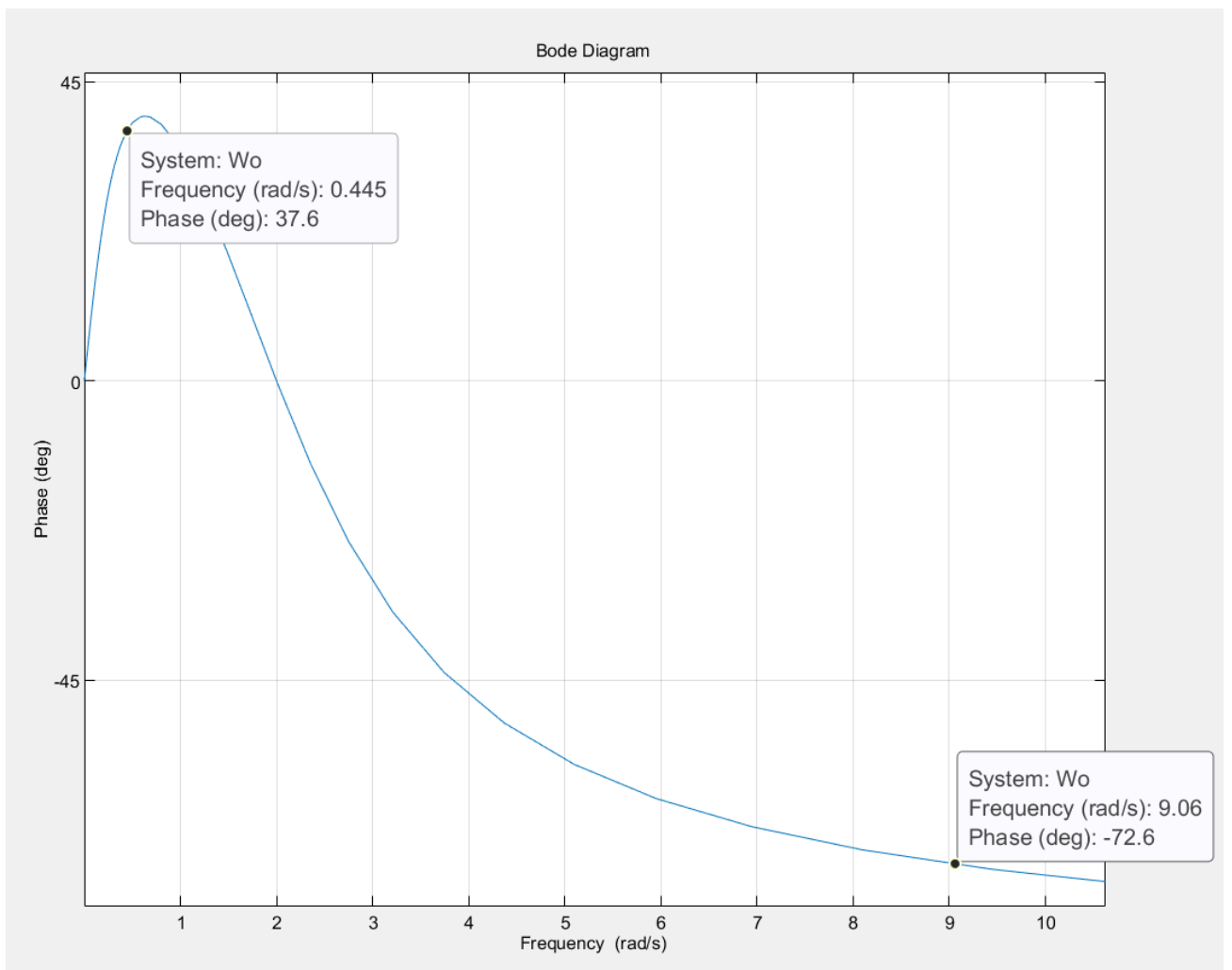


Рисунок 25 – ФЧХ

Получаем, что от 0 до частоты $\omega = 9.06$ система устойчива. Теперь найдем запас устойчивости фазы:

$$\tau_{max} = \frac{(180 - 72.6)\pi}{180 * 9.07} = 0.20 \quad (17)$$

$$0 < \tau < 0.20$$

Посмотрим переходные функции при устойчивом и неустойчивом временах запаздывания:

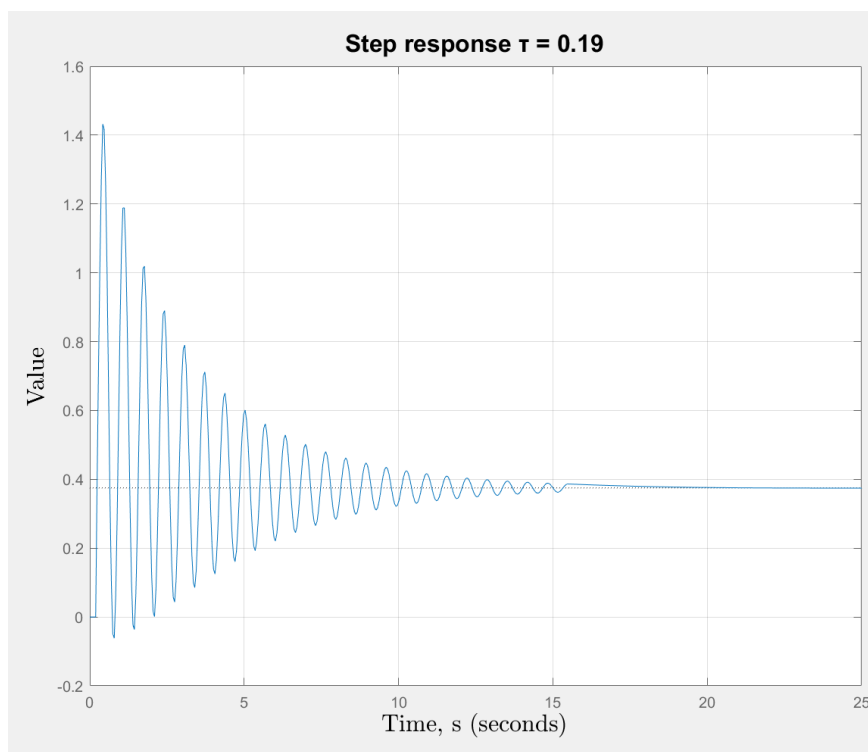


Рисунок 26 - Устойчивое время запаздывания

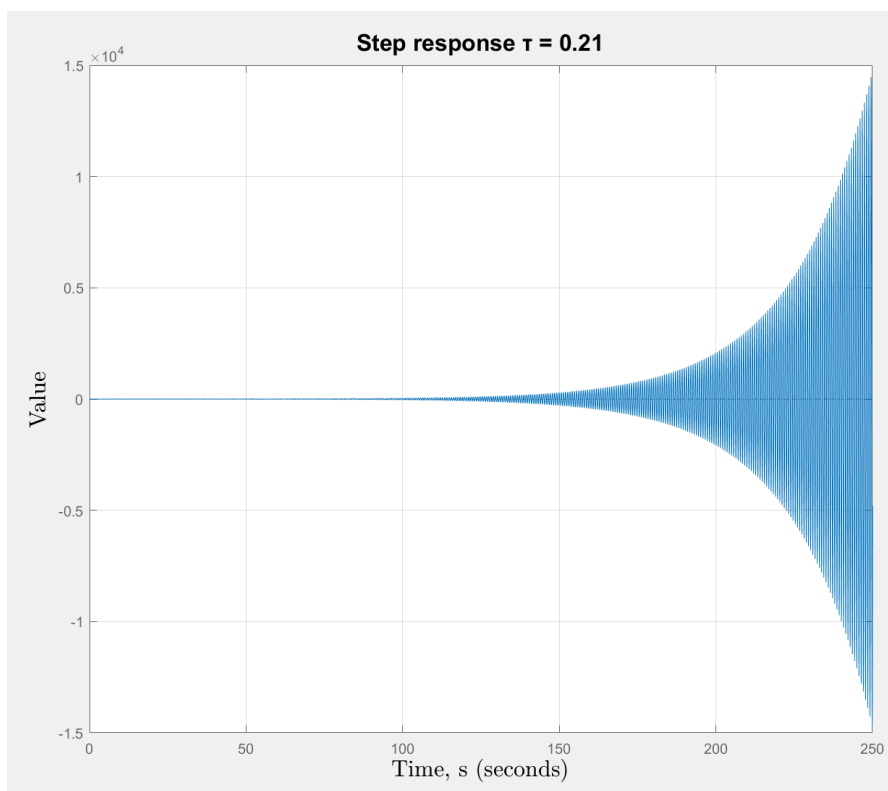


Рисунок 27 - Неустойчивое время запаздывания

Для функции $W_4(s)$:

$$W(s) = \frac{10s^2 - 6s + 11}{10s^3 - s^2 + 38s + 20} \quad (18)$$

Приступаем к изучению системы при запаздывании 0 и при 0.5

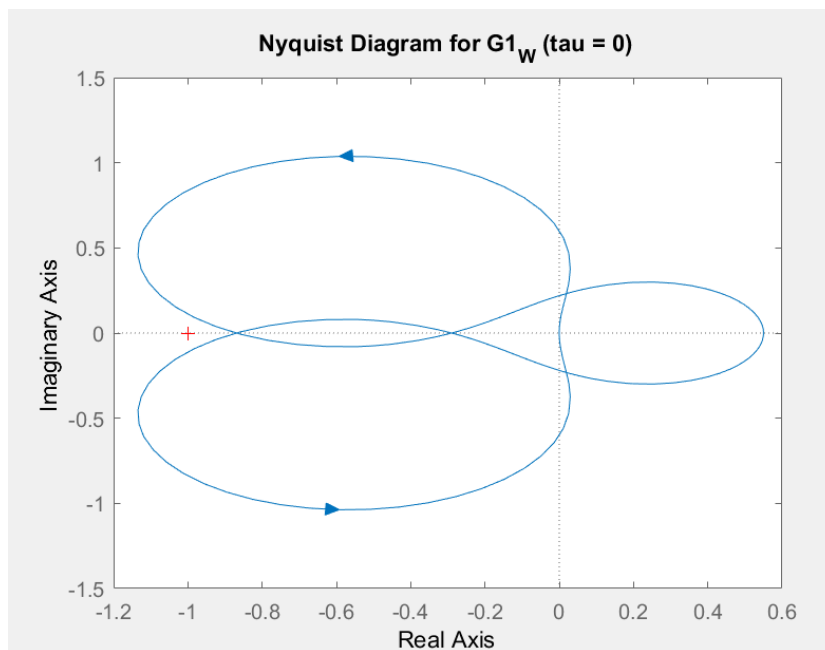


Рисунок 28 - Система при $\tau = 0$

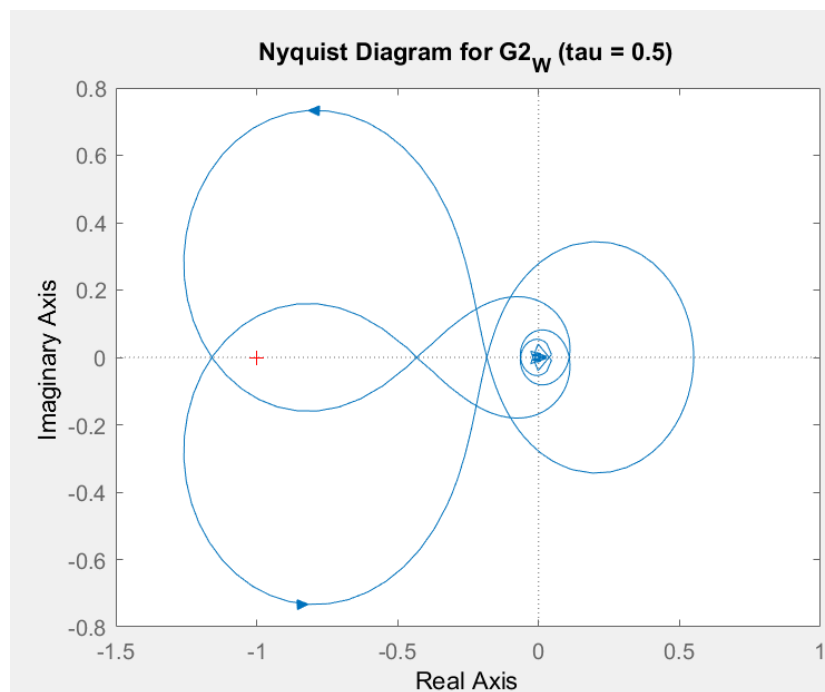


Рисунок 29 - Система при $\tau = 0.5$

Приступаем к построению графика ФЧХ и АЧХ, чтобы проанализировать, на какой частоте амплитуда равна 1:

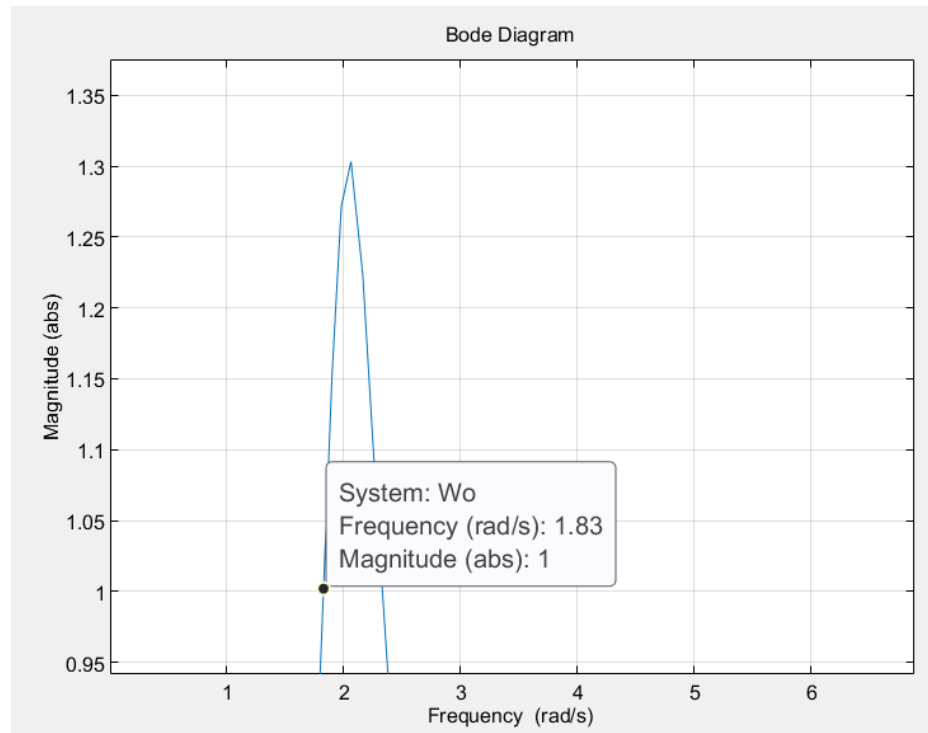


Рисунок 30 – АЧХ 1

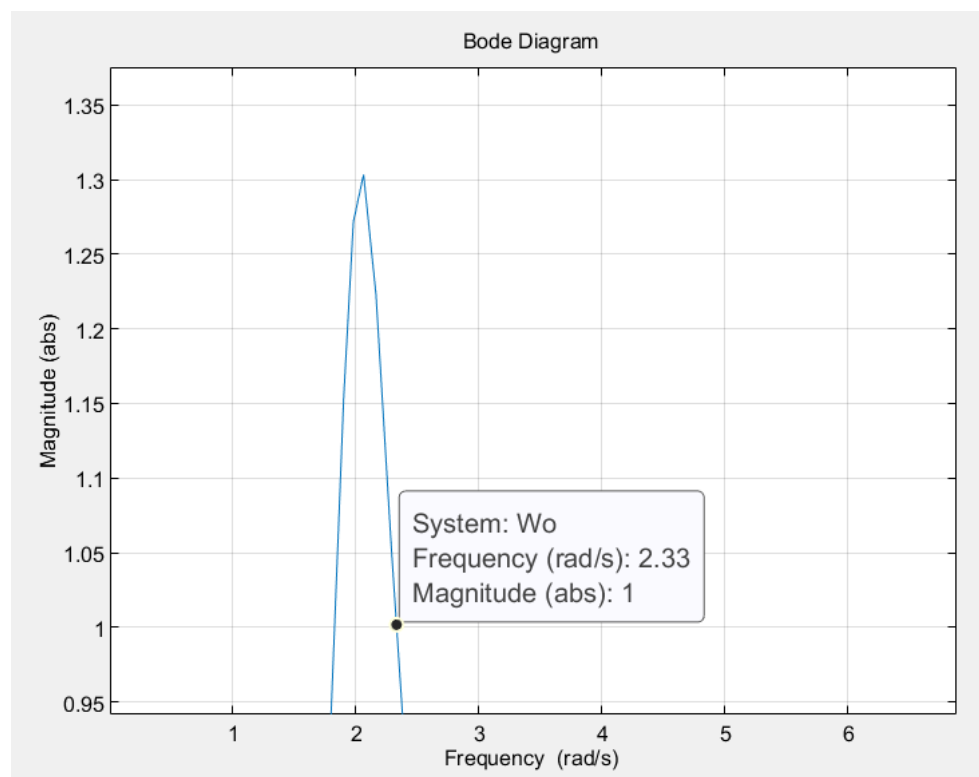


Рисунок 31 - АЧХ 2

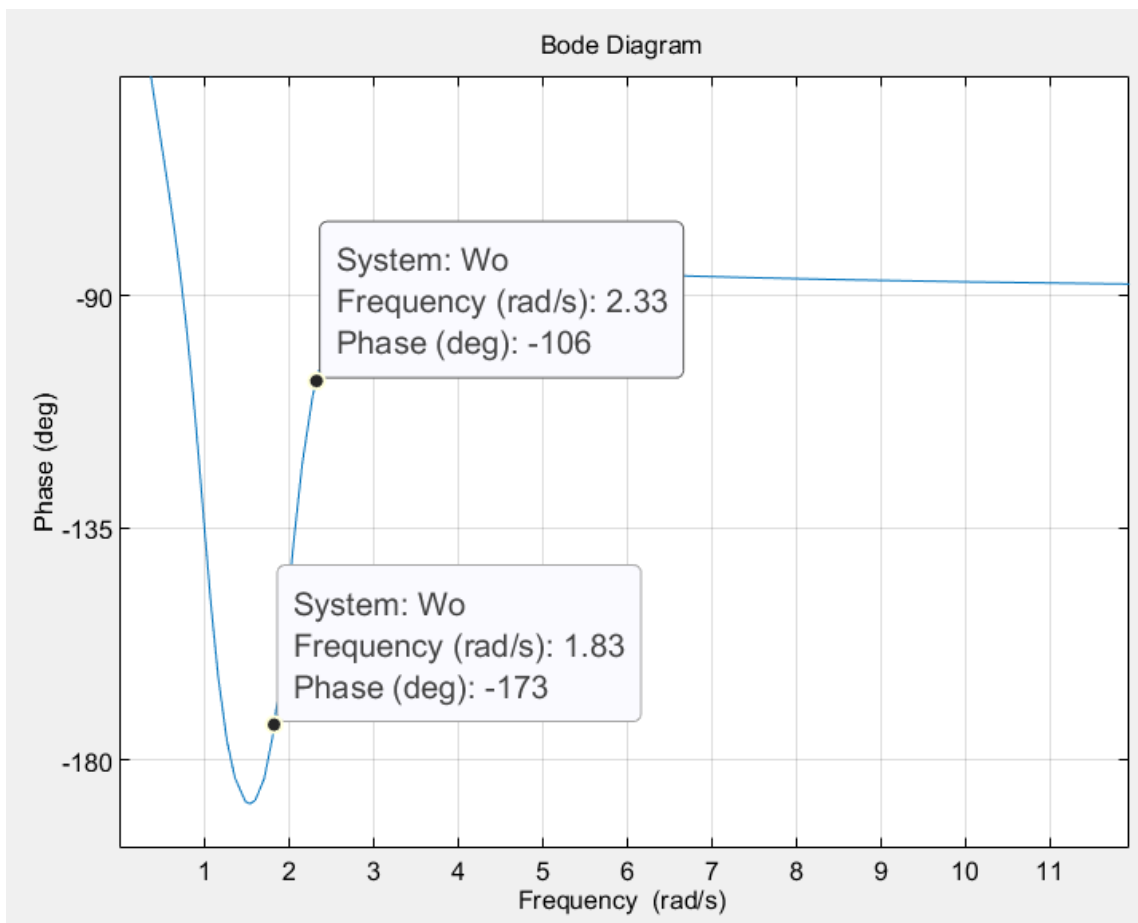


Рисунок 32 - ФЧХ

Получили 2 частоты: $w_1 = 1.83$ и $w_2 = 2.33$

Теперь можем найти граничные значения времени запаздывания:

$$\tau_{min} = \frac{(180 - 173)\pi}{180 * 1.83} = 0.06$$

$$\tau_{max} = \frac{(180 - 106)}{180 * 2.33} = 0.54$$

$$0.06 < \tau < 0.54$$

Проверим графиками:

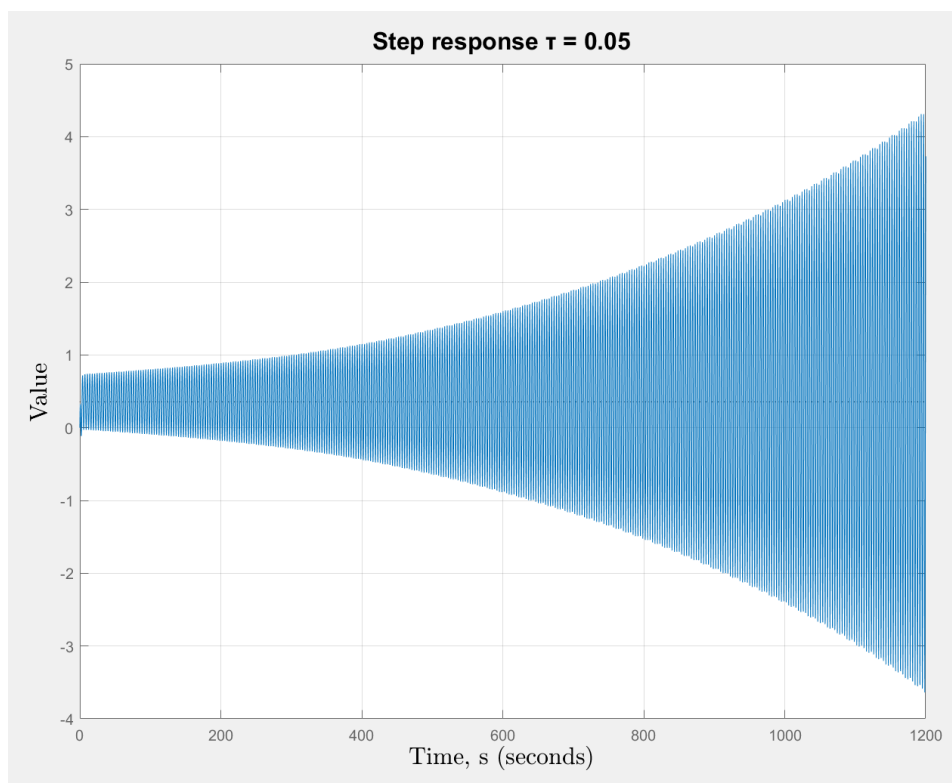


Рисунок 33 -- Нестабильное время до диапазона

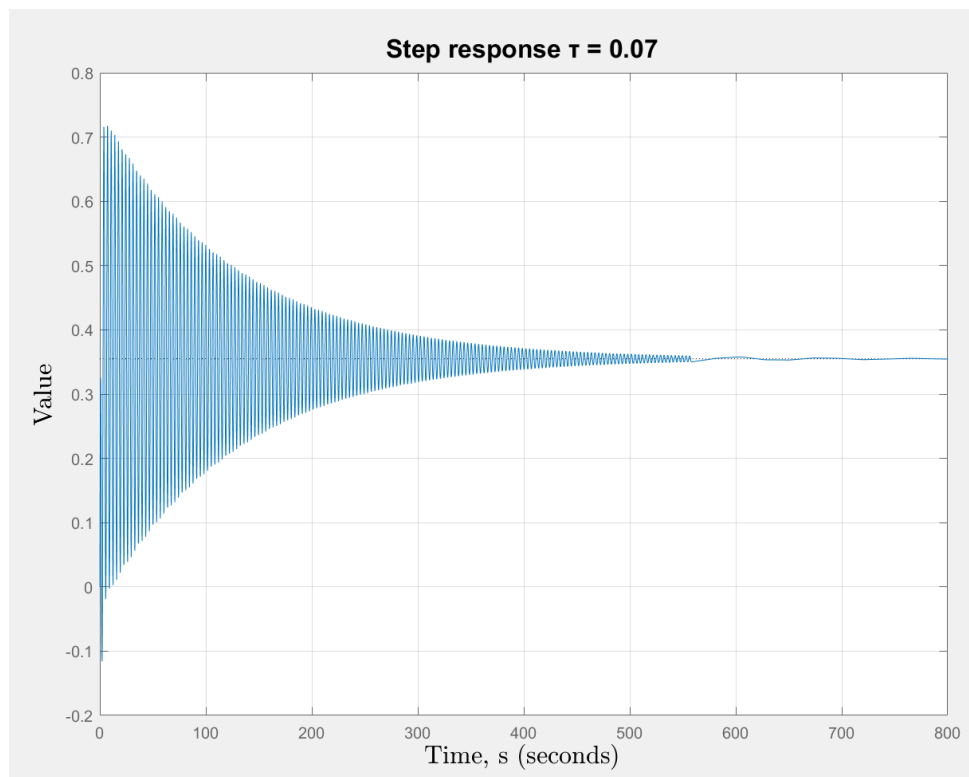


Рисунок 34 - Стабильное время в начале диапазона

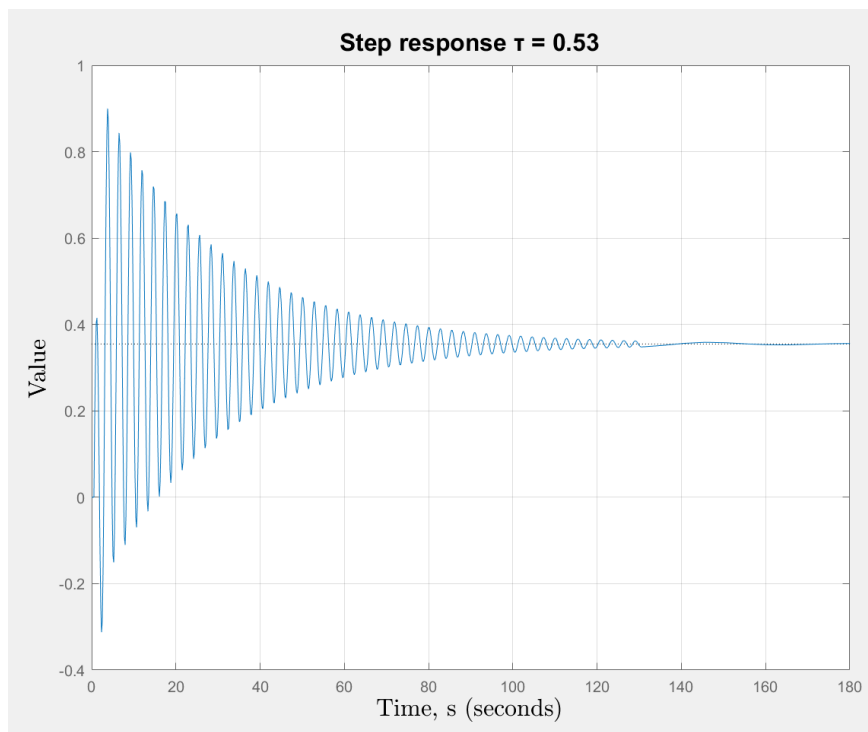


Рисунок 35 - Стабильное время в конце диапазона

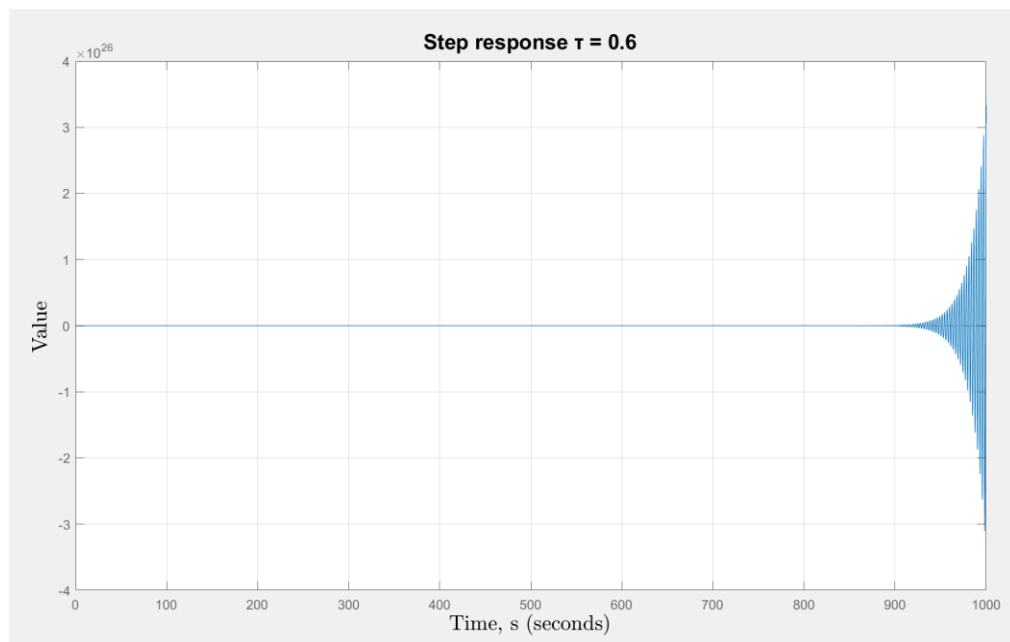


Рисунок 36 - Нестабильное время после диапазона

Видно, что рассчитанный диапазон совпадает с полученными графиками. Кроме того, при увеличении переменной t увеличивается размер и количество “кругов” системы, как видно на диаграмме

ЗАКЛЮЧЕНИЕ

В ходе выполнения лабораторной работы мы изучили критерий Найквиста и системы с запаздыванием. Первое задание позволило поверхностно рассмотреть функциональное назначение годографа и критерия Найквиста. Более того, первое упражнение предоставило возможность вычислить количество неустойчивых полюсов в системе с замкнутым контуром.

Второе задание подчеркнуло воздействие коэффициента усиления на устойчивость системы. Годограф, в свою очередь, предоставил более оперативный и точный метод исследования диапазона допустимых коэффициентов по сравнению с аналитическим решением и даже Критерием Гурвица. Это также позволило более глубоко постигнуть отображение сочетанных амплитуд и фаз.

Третье задание, несмотря на схожесть с вторым, включало единственное дополнение: в отличие от коэффициента усиления, который увеличивает амплитуду и обычно имеет единственное граничное значение, смещение фазы может предоставить более увлекательные и неожиданные диапазоны из-за своего заворачивающегося характера. Этот аспект добавил богатство в понимание взаимосвязи между амплитудой и фазой в динамических системах. В итоге, эксперименты в этих трех областях значительно расширили наше понимание динамических систем и их устойчивости, предоставив более полное и детальное представление о факторах, влияющих на их поведение.